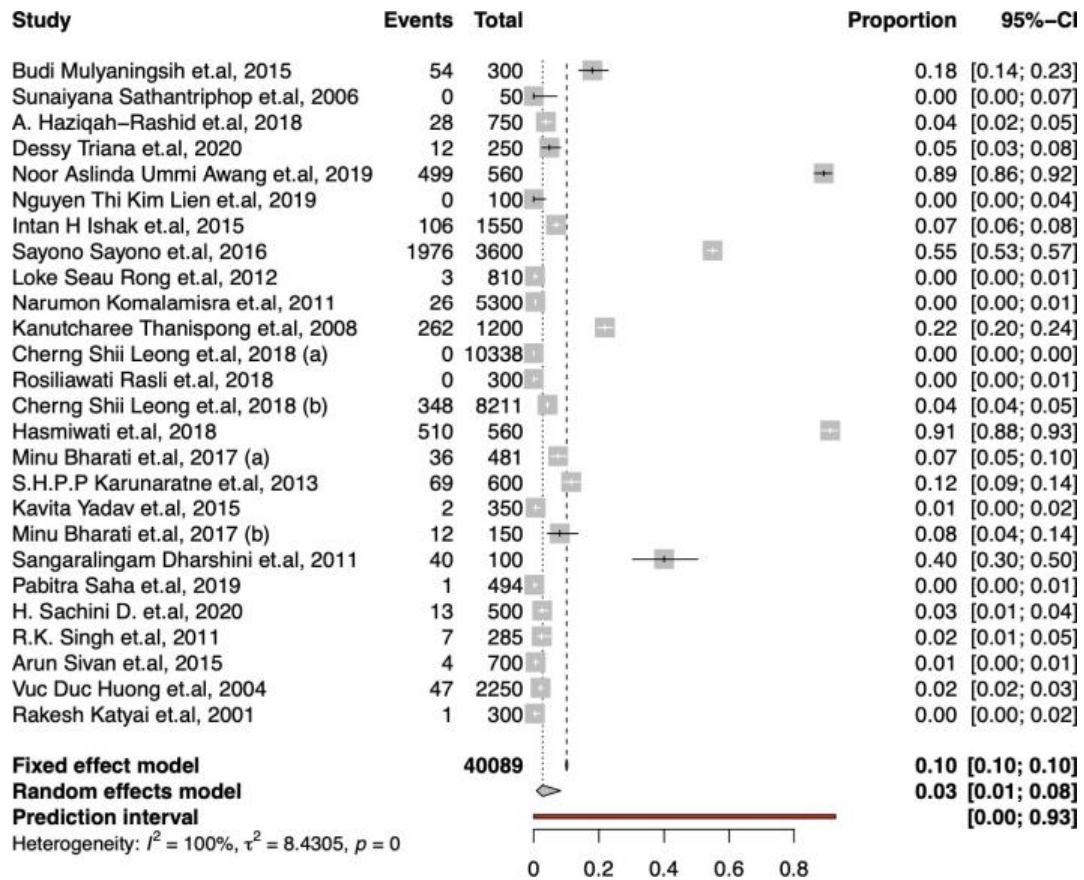
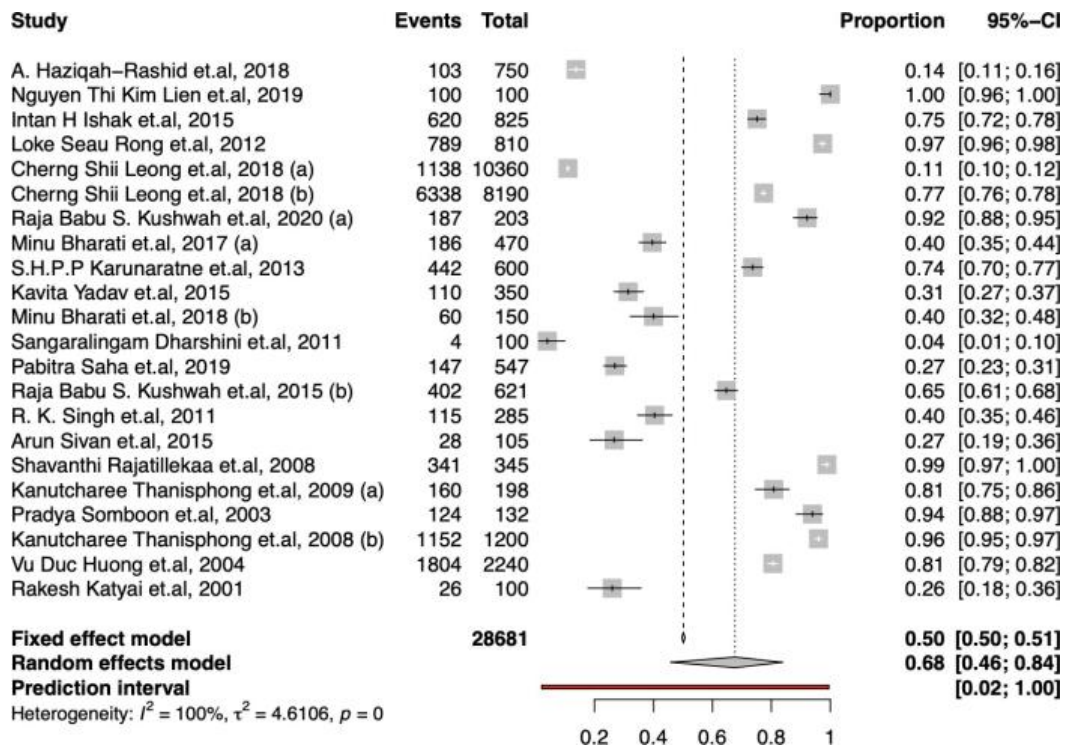


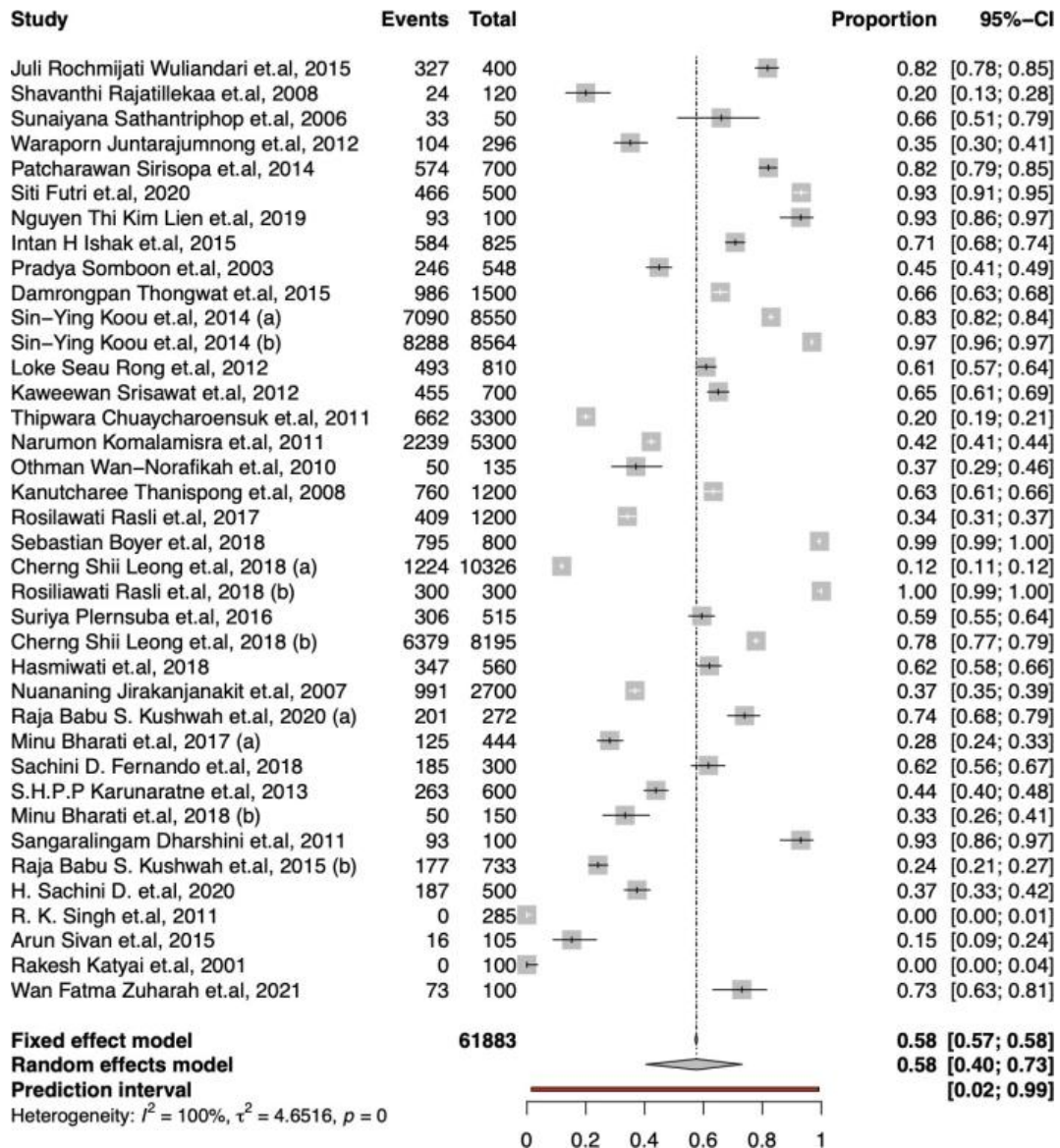
A. Malathion (*Aedes aegypti*)



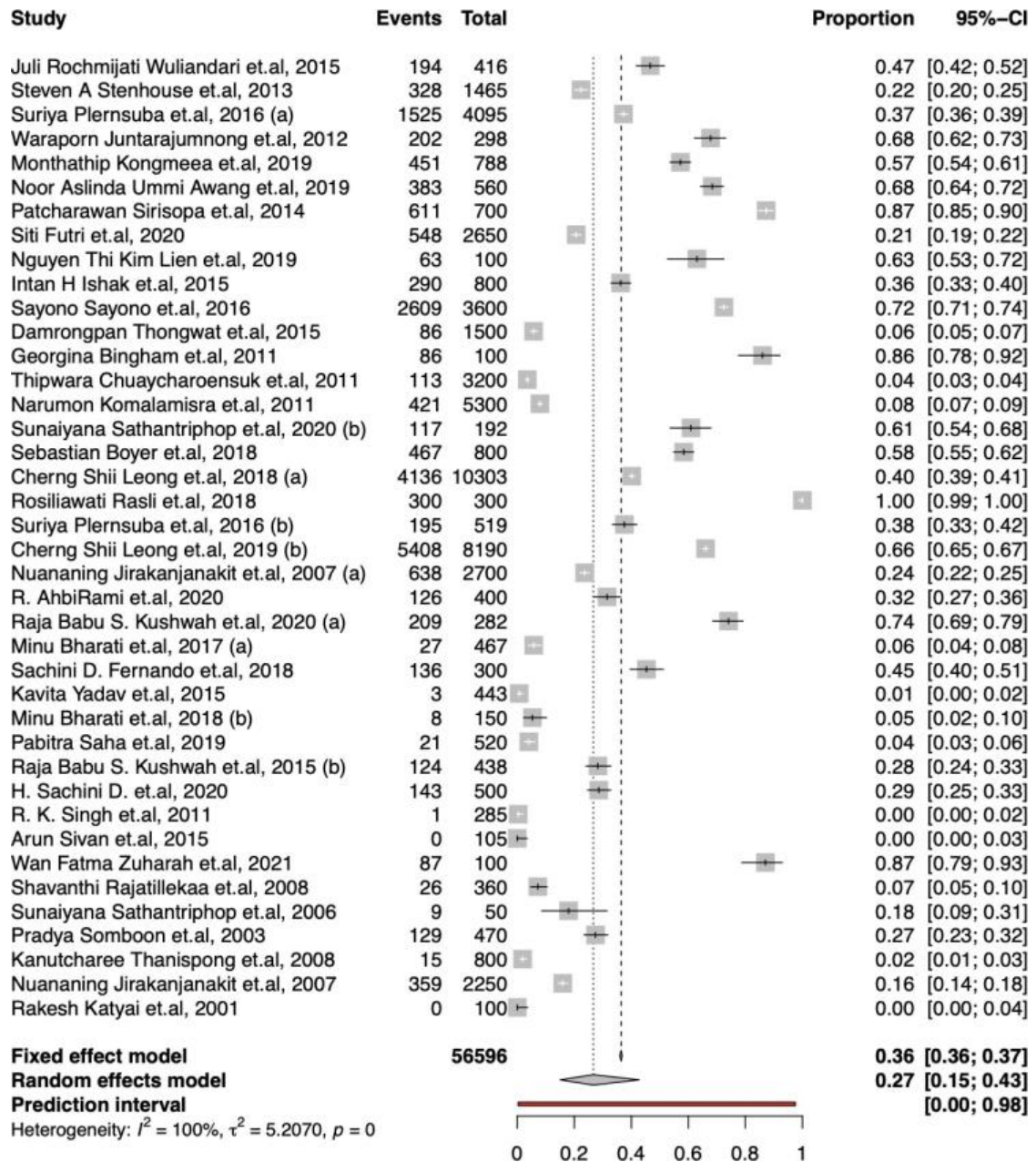
B. DDT (*Aedes aegypti*)



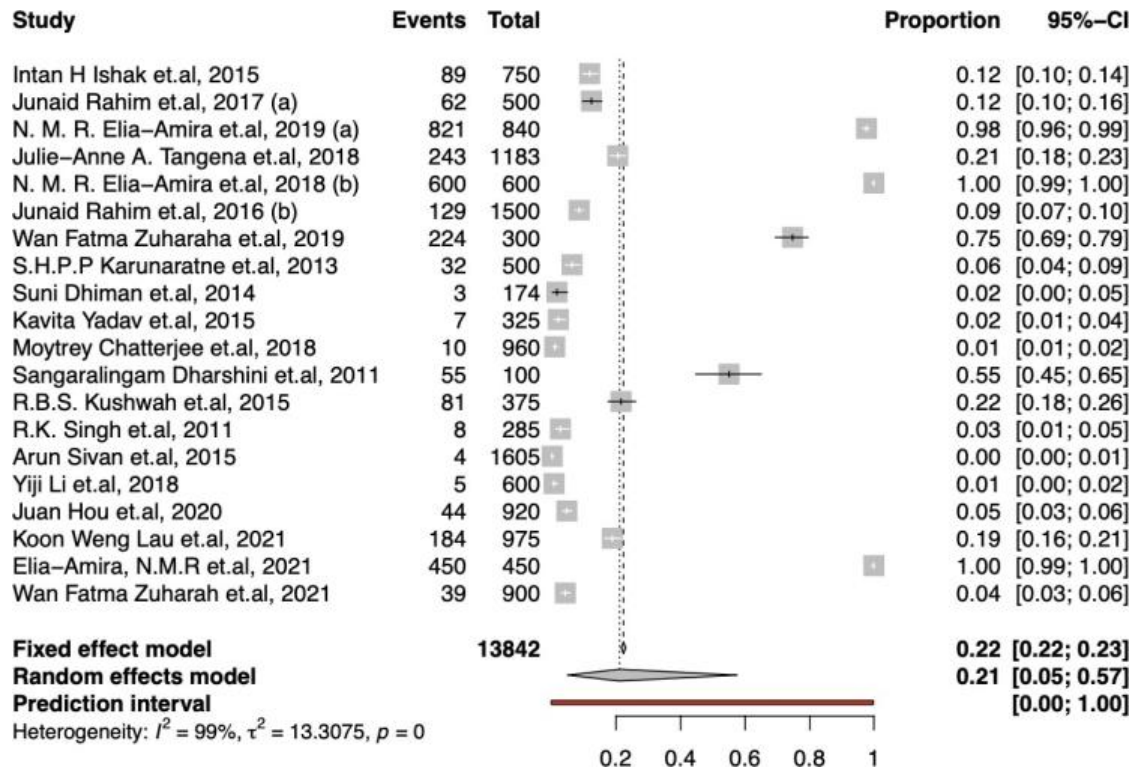
C. Permethrin (*Aedes aegypti*)



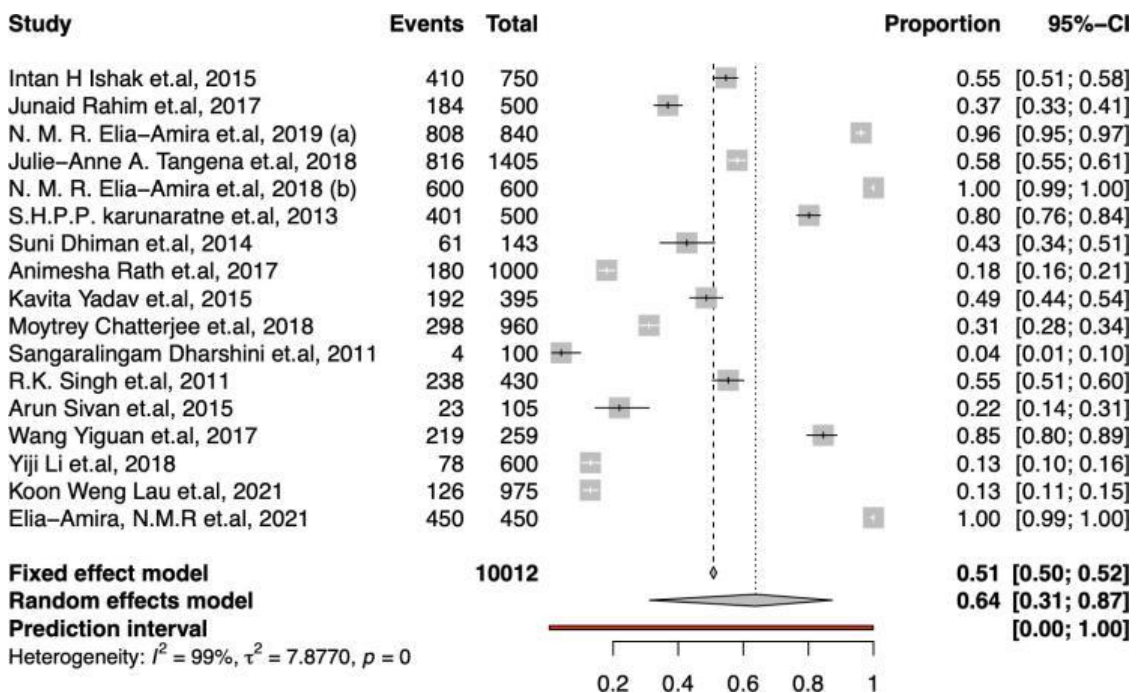
D. Deltamethrin (*Aedes aegypti*)



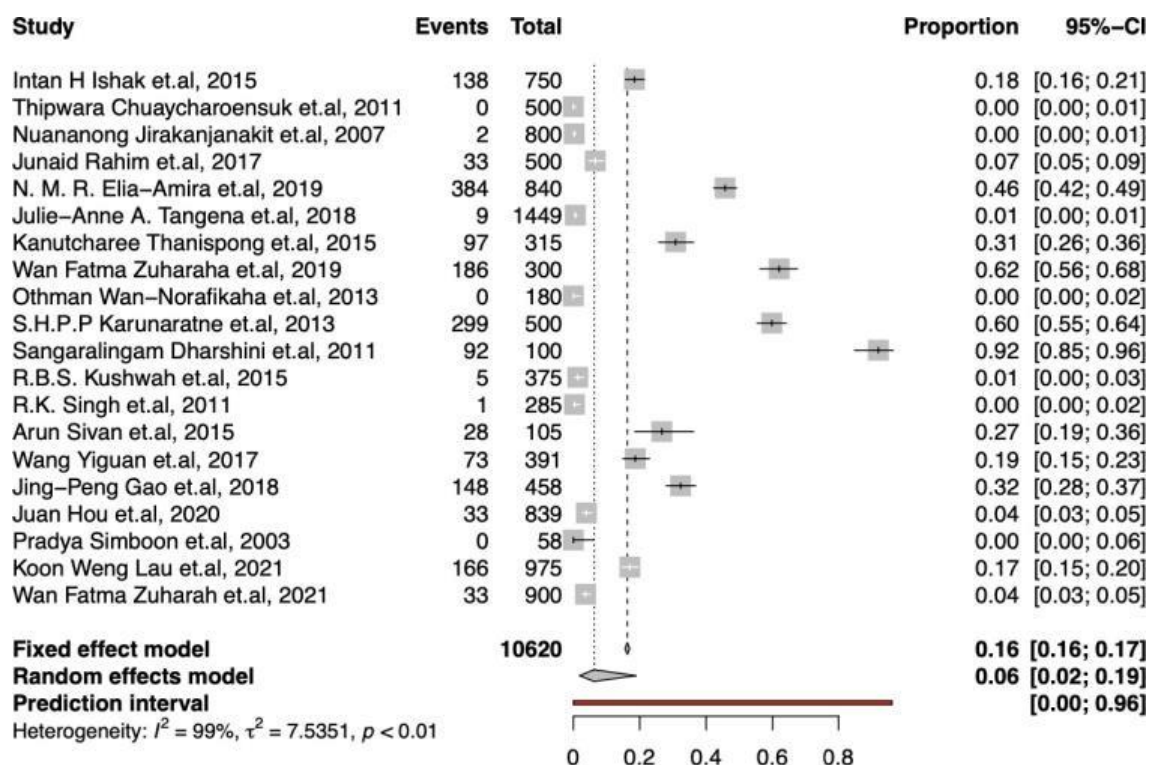
E. Malathion (*Aedes albopictus*)



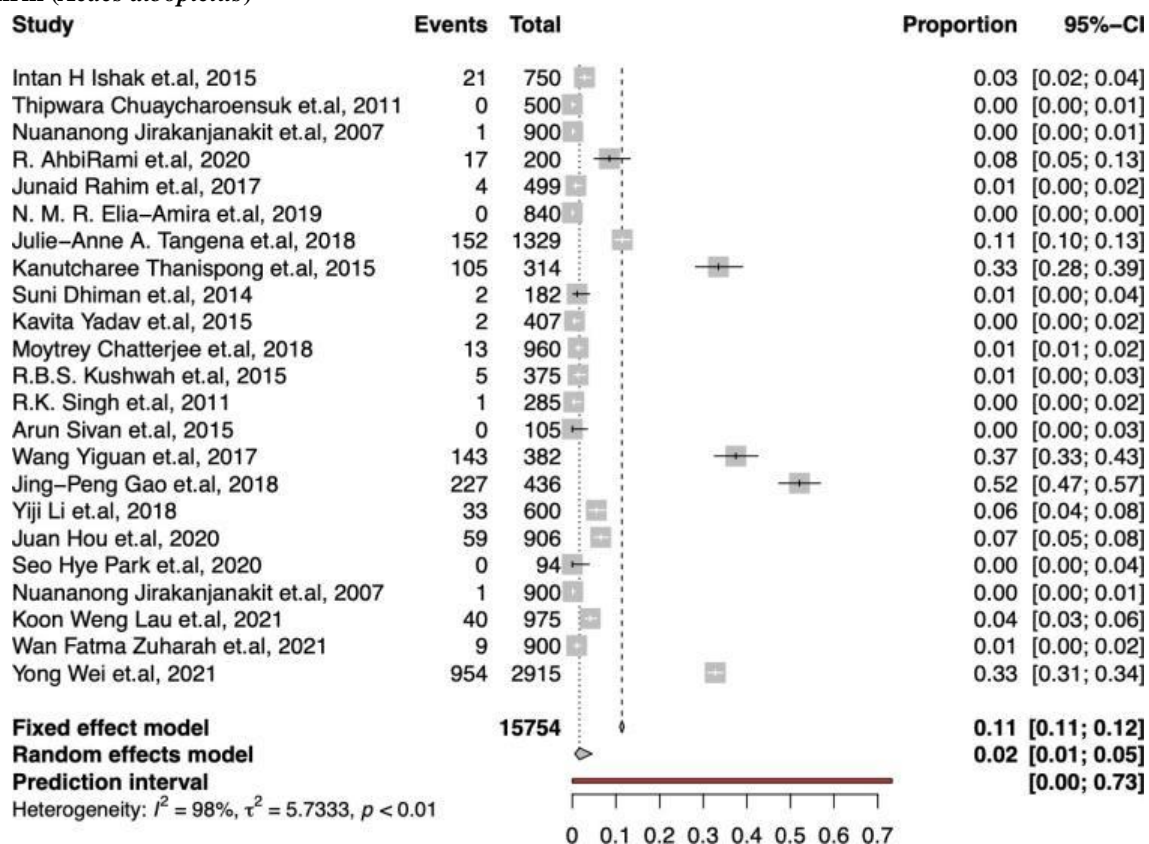
F. DDT (*Aedes albopictus*)



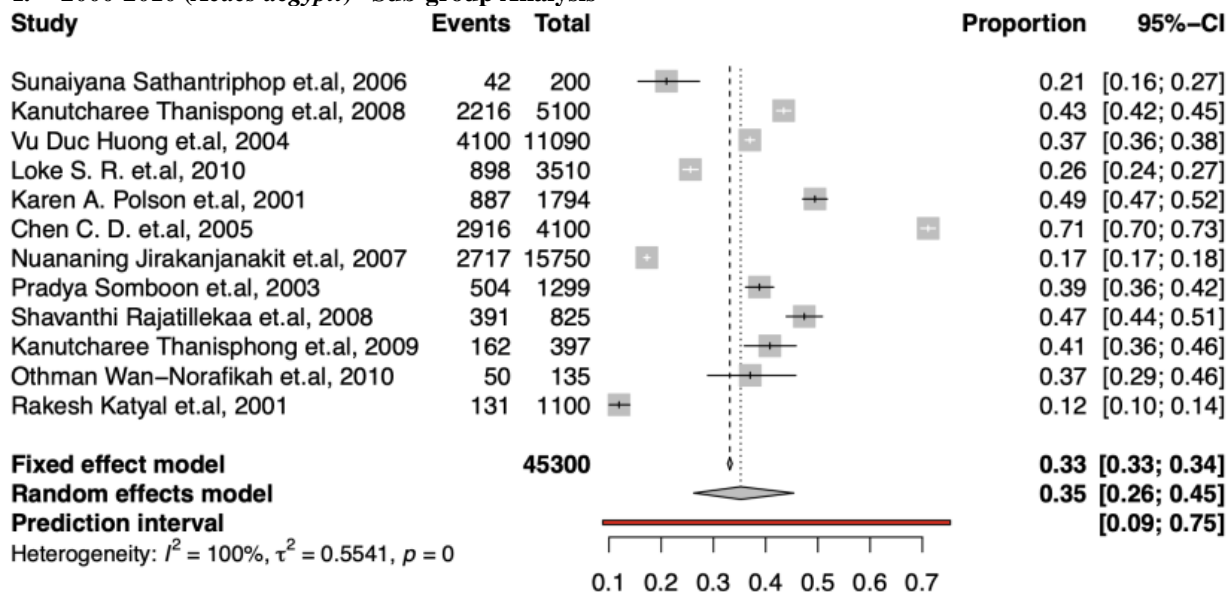
G. Permethrin (*Aedes albopictus*)



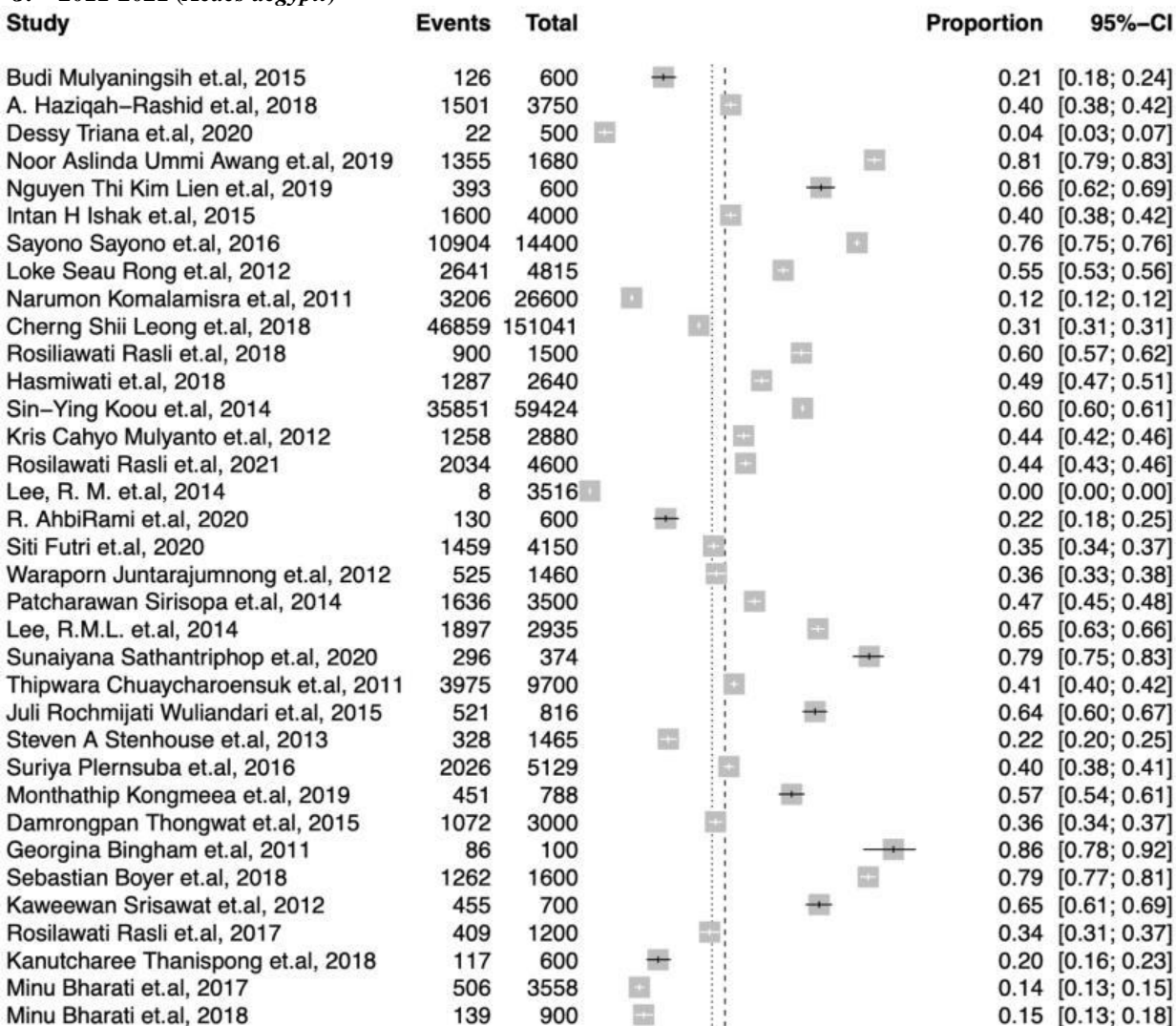
H. Deltamethrin (*Aedes albopictus*)



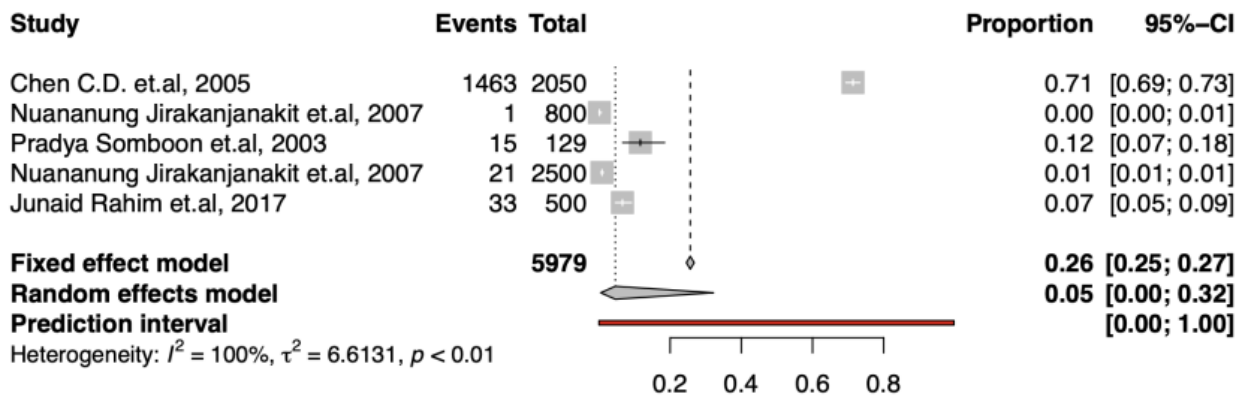
I. 2000-2010 (*Aedes aegypti*) Sub-group Analysis



J. 2011-2021 (*Aedes aegypti*)



K. 2000-2010 (*Aedes albopictus*)



L. 2011-2021 (*Aedes albopictus*)

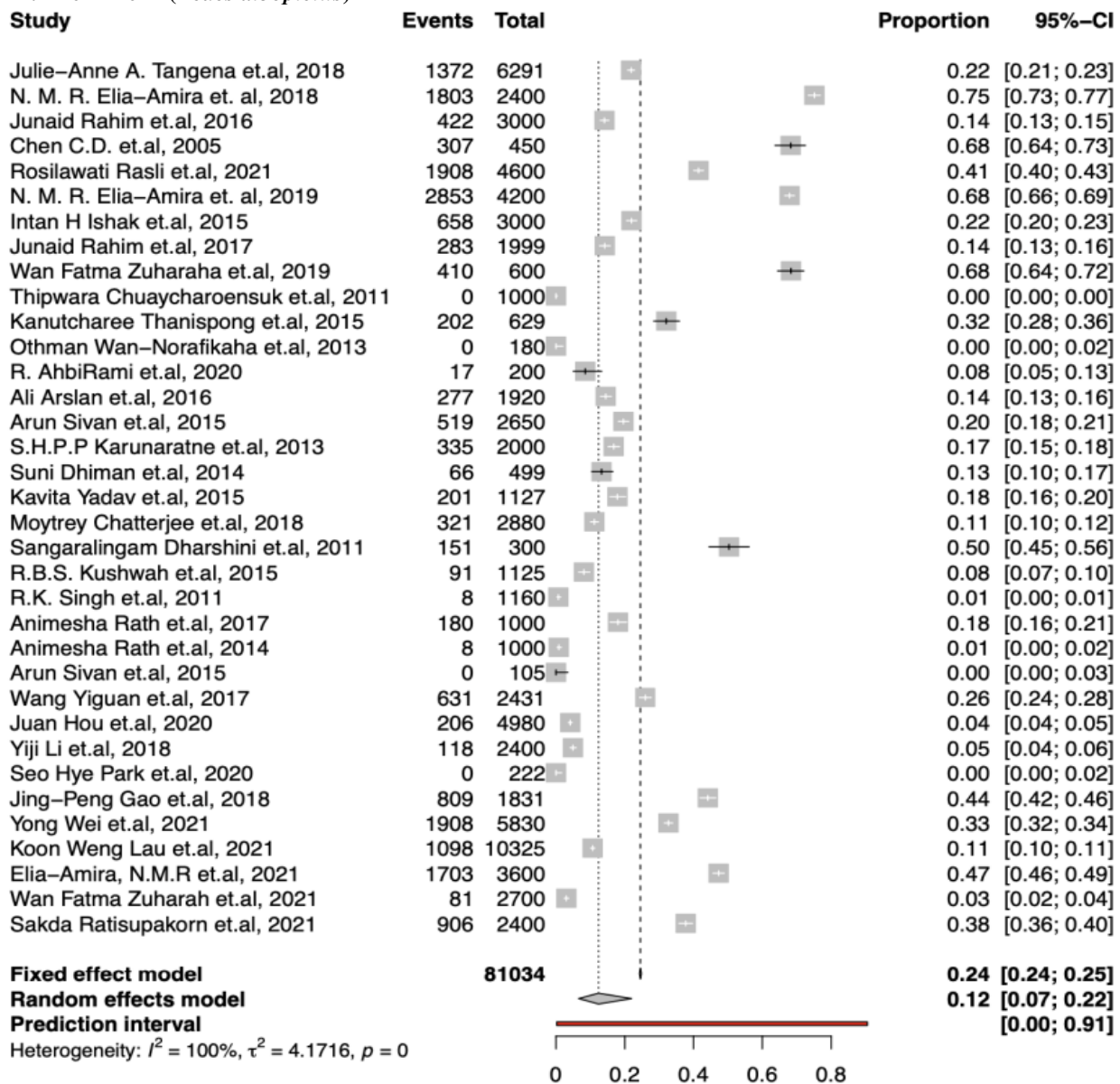


Figure S2. Forest Plots of meta-analysis. A. Malathion (*Aedes aegypti*); B. DDT (*Aedes aegypti*); C. Permethrin (*Aedes aegypti*); D. Deltamethrin (*Aedes aegypti*); E. Malathion (*Aedes albopictus*); F. DDT (*Aedes albopictus*); G. Permethrin (*Aedes albopictus*); H. Deltamethrin (*Aedes albopictus*); I. 2000-2010 (*Aedes aegypti*) Sub-group Analysis; J. 2011-2021 (*Aedes aegypti*); K. 2000-2010 (*Aedes albopictus*); L. 2011-2021 (*Aedes albopictus*).